

## ПОЛЯРИЗАЦІЙНА СТРУКТУРА КОНОСКОПІЧНИХ КАРТИН ПЛАНАРНИХ НЕМАТИЧНИХ ТА ХОЛЕСТЕРИЧНИХ РІДКОКРИСТАЛІЧНИХ КОМІРОК

Р.Г. ВОВК, О.Д. КИСЕЛЬОВ

УДК 535.372  
© 2010

Інститут фізики НАН України  
(Просп. Науки, 46, Київ 03028; e-mail: roman.vovk@gmail.com)

Теоретично досліджено поляризаційні розподіли світла в коноскопічних картинах планарних нематичних та холестеричних рідкокристалічних (РК) комірок. Геометрію поляризаційних структур описано за допомогою поляризаційних сингулярностей:  $C$ -точок (точок з циркулярною поляризацією) і  $L$ -ліній (ліній, вздовж яких поляризація лінійна). Розглянуто умови формування поляризаційних сингулярностей ( $C$ -точок) в ансамблі коноскопічних картин, параметризованих азимутом поляризації і еліптичністю падаючої світлової хвилі. Показано, що характерною особливістю цих умов є селективність за поляризаційними параметрами.

### 1. Вступ

В останні роки значно підвищився інтерес до поляризаційної оптики анізотропних середовищ, що, зокрема, пов'язано з широким використанням рідкокристалічних технологій [1, 2]. Рідкі кристали (РК) являють собою анізотропні середовища, анізотропія яких визначається їх орієнтаційною структурою, чутливою до зовнішніх полів та граничних умов [3]. Саме оптичні властивості РК визначають їх технологічну важливість.

Коноскопія давно і успішно використовується для вивчення орієнтаційної структури РК [4–6]. Як відомо, коноскопічний метод полягає в дослідженні РК зразка в розбіжних пучках у системі схрещених поляризаторів. У результаті на виході з коноскопа можна спостерігати коноскопічну картину, яка утворюється за рахунок інтерференції чотирьох поляризованих власних мод РК комірки. Але при використанні системи схрещених поляризаторів гу-

битися значна частина інформації про стан поляризації світла, яка може бути корисною, наприклад, для розробки нових і вдосконалення існуючих методів ідентифікації орієнтаційних структур в анізотропних середовищах. Таким чином, виникає проблема дослідження поляризаційних розподілів світла, які лежать в основі коноскопічних картин.

Такі розподіли можна назвати *поляризаційно розділеними коноскопічними картинами*, геометричним зображенням яких є поле поляризаційних еліпсів на площині спостереження [7]. У наших попередніх роботах [7, 8] для характеристики геометрії поляризаційно розділених коноскопічних картин використовувалися поляризаційні сингулярності  $C$ -точки (точки, в яких поляризація світла циркулярна) і  $L$ -лінії (ліній, вздовж яких поляризація світла лінійна). Саме поляризаційні сингулярності є стійкими топологічними дефектами [9] і важливими елементами, які характеризують геометрію неоднорідно поляризованих світлових полів [10, 11].

Найбільш детально геометрію поляризаційно розділених коноскопічних картин було досліджено у випадку гомеотропно орієнтованого нематичного РК [8], коли орієнтаційна структура характеризується циліндричною симетрією з віссю обертання вздовж нормалі до комірки. У роботі [8], змінюючи поляризаційні параметри (азимут поляризації і еліптичність падаючої хвилі), вдалося теоретично і експериментально дослідити поведінку  $C$ -точок у відповідному ансамблі поляризаційно розділених коноскопічних картин гомеотропної комірки нематика. Теоретичний аналіз також дозволив отримати сценарії

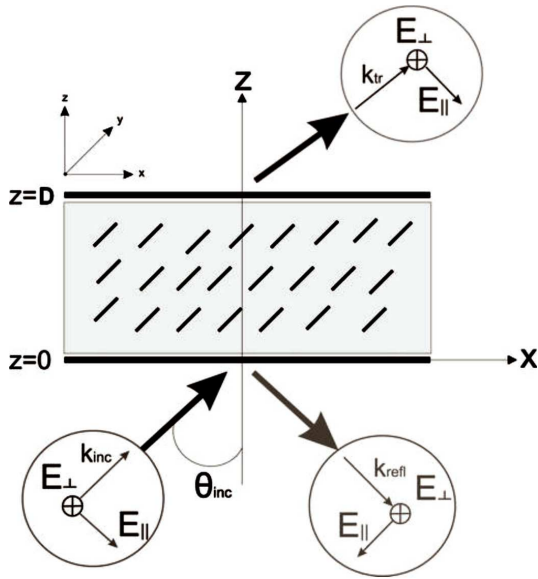


Рис. 1. Геометрія НРК комірки у площині падіння

народження та анігіляції  $C$ -точок у таких поляризаційних розподілах.

Звісно, що наступним кроком має бути дослідження поляризаційно розділених коноскопічних картин РК з іншими орієнтаційними структурами. Слід очікувати, що найбільш важливу роль будуть відігравати ефекти, пов'язані з порушенням циліндричної симетрії гомеотропної конфігурації. З метою дослідження таких ефектів у цій роботі розглянемо інший граничний випадок, коли оптична вісь анізотропного середовища є планарно орієнтованою. Зокрема, теоретично вивчимо поляризаційно розділені коноскопічні картини планарно орієнтованих нематичних та холестеричних РК комірок, а також визначимо умови виникнення  $C$ -точок у таких поляризаційних розподілах.

## 2. Теорія

Розглянемо нематичну РК (НРК) комірку товщиною  $D$ , що розташована між підкладками з нормаллю вздовж осі  $z$ :  $z = 0$  і  $z = D$ , рис. 1. У випадку планарно орієнтованого нематика РК директор  $\hat{\mathbf{d}}$ , що визначає орієнтацію оптичної осі НРК, лежить у площині підкладки і має такий вигляд:

$$\hat{\mathbf{d}} = d_x \hat{\mathbf{x}} + d_y \hat{\mathbf{y}} = \cos \phi_d \hat{\mathbf{x}} + \sin \phi_d \hat{\mathbf{y}}, \quad (1)$$

де  $\phi_d$  — азимутальний кут директора. Цей кут є сталою для однорідної планарної НРК орієнтаційної

структури, тоді як рівноважна конфігурація директора в холестеричному РК описується рівнянням (1) з азимутальним кутом  $\phi_d = qz + \phi_0$ , де  $q = 2\pi/P$  і  $P$  — хвильове число і крок холестеричної спіралі відповідно [3]. Звісно, якщо крок холестеричної спіралі прямує до нескінченності, то в цьому випадку  $\phi_d = \phi_0$ , і тому планарно орієнтований нематичний РК можна розглядати як холестерик з нескінченним кроком.

Для переважної більшості відомих нематиків, анізотропія одновісна і діелектричний тензор НРК має загальний вигляд [3]:

$$\epsilon = \epsilon_{\perp} I_3 + \Delta\epsilon \hat{\mathbf{d}} \otimes \hat{\mathbf{d}} \quad (2)$$

де  $\Delta\epsilon = \epsilon_{\parallel} - \epsilon_{\perp}$  і  $I_n$  — одинична  $n \times n$  матриця. Власні значення тензора [3] дають звичайний та надзвичайний показники заломлення,  $n_o = \sqrt{\mu\epsilon_{\perp}}$  і  $n_e = \sqrt{\mu\epsilon_{\parallel}}$ , де  $\mu$  магнітна проникність НРК.

Далі будемо вважати, що зовнішнє середовище є ізотропним з діелектричною константою  $\epsilon_m$  і магнітною проникністю  $\mu_m$ . На рис. 1 показано, що є дві плоскі хвилі в напівпросторі  $z \leq 0$ : *падаюча хвиля*  $\{\mathbf{E}_{\text{inc}}, \mathbf{H}_{\text{inc}}\}$  і *відбита хвиля*  $\{\mathbf{E}_{\text{refl}}, \mathbf{H}_{\text{refl}}\}$ . *Пропущена хвиля*  $\{\mathbf{E}_{\text{tr}}, \mathbf{H}_{\text{tr}}\}$  і *відбита хвиля* збуджуються падаючою хвилею і поширюються в паралельному напрямку в напівпросторі  $z \geq D$ . Таким чином, поле поза коміркою є таким:

$$\mathbf{E}|_{z < 0} = \mathbf{E}_{\text{inc}}(\hat{\mathbf{k}}_{\text{inc}})e^{i(\mathbf{k}_{\text{inc}} \cdot \mathbf{r})} + \mathbf{E}_{\text{refl}}(\hat{\mathbf{k}}_{\text{refl}})e^{i(\mathbf{k}_{\text{refl}} \cdot \mathbf{r})}, \quad (3a)$$

$$\mathbf{E}|_{z > D} = \mathbf{E}_{\text{tr}}(\hat{\mathbf{k}}_{\text{tr}})e^{i(\mathbf{k}_{\text{tr}} \cdot \mathbf{r})}, \quad (3b)$$

де, внаслідок граничних умов неперервності тангенціальних компонент електричного та магнітного полів, хвильові вектори  $\mathbf{k}_{\text{inc}}$ ,  $\mathbf{k}_{\text{refl}}$  і  $\mathbf{k}_{\text{tr}}$  лежать у площині падіння (координатна площина  $x-z$ ) і мають такий вигляд:

$$\mathbf{k}_{\alpha} = k_{\text{vac}} \mathbf{q}_{\alpha} = k_m \hat{\mathbf{k}}_{\alpha} = k_x \hat{\mathbf{x}} + k_z^{(\alpha)} \hat{\mathbf{z}}, \quad (4)$$

де  $\alpha \in \{\text{inc, refl, tr}\}$ ,  $k_m/k_{\text{vac}} = n_m = \sqrt{\mu_m \epsilon_m}$  — показник заломлення зовнішнього середовища і  $k_{\text{vac}} = \omega/c = 2\pi/\lambda$  — хвильове число у вакуумі. Компоненти хвильових векторів виражаються через кут падіння  $\theta_{\text{inc}}$  таким чином:

$$k_x = k_m \sin \theta_{\text{inc}} \equiv k_{\text{vac}} q_x, \quad (5)$$

$$k_z^{(\text{inc})} = k_z^{(\text{tr})} = -k_z^{(\text{refl})} = k_m \cos \theta_{\text{inc}} \equiv k_{\text{vac}} q_m, \quad (6)$$

$$q_x = n_m \sin \theta_{\text{inc}}, \quad q_m = \sqrt{n_m^2 - q_x^2}. \quad (7)$$

Векторні амплітуди електричного поля плоских хвиль є

$$\mathbf{E}_\alpha(\hat{\mathbf{k}}_\alpha) = E_{\parallel}^{(\alpha)}(k_z^{(\alpha)} \hat{\mathbf{x}} - k_x \hat{\mathbf{z}}) k_m^{-1} + E_{\perp}^{(\alpha)} \hat{\mathbf{y}}, \quad (8)$$

де  $E_{\parallel}^{(\alpha)}$  і  $E_{\perp}^{(\alpha)}$  — компоненти електричного поля, які паралельні і перпендикулярні площині падіння відповідно.

Електромагнітне поле падаючої, пропущеної та відбитої хвиль, що поширюються в зовнішньому середовищі, має загальний вигляд

$$\{\mathbf{E}, \mathbf{H}\} = \{\mathbf{E}(z), \mathbf{H}(z)\} e^{i(k_x x - \omega t)}. \quad (9)$$

Використовуючи співвідношення (9), можна також отримати рівняння для тангенціальних компонент електромагнітного поля всередині анізотропного шару в матричній формі [12]:

$$-i\partial_\tau \mathbf{F} = \mathcal{M} \cdot \mathbf{F} \equiv \begin{pmatrix} \mathcal{M}_{11} & \mathcal{M}_{12} \\ \mathcal{M}_{21} & \mathcal{M}_{22} \end{pmatrix} \begin{pmatrix} \mathbf{E}_P \\ \mathbf{H}_P \end{pmatrix}, \quad \tau \equiv k_{\text{vac}} z, \quad (10)$$

де  $\mathbf{E}_P = (E_x, E_y)^T$  і  $\mathbf{H}_P = (H_y, -H_x)^T$ .

Загальні вирази для  $2 \times 2$  матриць  $\mathcal{M}_{ij}$ , що характеризують блочну структуру матриці  $\mathcal{M}$ , наведено у роботах [7, 8]. Для діелектричного тензора (2) і дивергатора (1) матриці  $\mathcal{M}_{ij}$  мають вигляд

$$\mathcal{M}_{12} = \mu \mathcal{I}_2 - \frac{q_x^2}{\varepsilon_{\perp}} \text{diag}(1, 0), \quad \mathcal{M}_{ii} = 0, \quad (11)$$

$$\mathcal{M}_{21} = -\frac{q_x^2}{\mu} \text{diag}(0, 1) + \varepsilon_c \mathcal{I}_2 +$$

$$+ \frac{\Delta\varepsilon}{2} \begin{pmatrix} \cos(2\phi_d) & \sin(2\phi_d) \\ \sin(2\phi_d) & -\cos(2\phi_d) \end{pmatrix}, \quad (12)$$

де  $\varepsilon_c = (\varepsilon_{\parallel} + \varepsilon_{\perp})/2$ .

Як розв'язок граничної задачі отримаємо лінійні співвідношення між компонентами падаючої, пропущеної та відбитої хвиль:

$$\begin{pmatrix} E_{\parallel}^{(\text{tr})} \\ E_{\perp}^{(\text{tr})} \end{pmatrix} = \mathcal{T} \begin{pmatrix} E_{\parallel}^{(\text{inc})} \\ E_{\perp}^{(\text{inc})} \end{pmatrix}, \quad \begin{pmatrix} E_{\parallel}^{(\text{refl})} \\ E_{\perp}^{(\text{refl})} \end{pmatrix} = \mathcal{R} \begin{pmatrix} E_{\parallel}^{(\text{inc})} \\ E_{\perp}^{(\text{inc})} \end{pmatrix}, \quad (13)$$

де  $\mathcal{T}$  — матриця пропускання, а  $\mathcal{R}$  — матриця відбиття. Основна проблема полягає в обчисленні цих двох матриць.

У роботах [7, 8] показано, що для знаходження матриць  $\mathcal{T}$  і  $\mathcal{R}$  потрібно обчислити матрицю

$$\mathcal{W} = \mathcal{V}_m^{-1} \cdot \mathcal{U}^{-1} \cdot \mathcal{V}_m = \begin{pmatrix} \mathcal{W}_{11} & \mathcal{W}_{12} \\ \mathcal{W}_{21} & \mathcal{W}_{22} \end{pmatrix} \quad (14)$$

і скористатися співвідношеннями

$$\mathcal{T} = \mathcal{W}_{11}^{-1}, \quad (15)$$

$$\mathcal{R} = \mathcal{W}_{21} \cdot \mathcal{W}_{11}^{-1} = \mathcal{W}_{21} \cdot \mathcal{T}, \quad (16)$$

які пов'язують матриці пропускання і відбиття з блок-матрицями  $\mathcal{W}_{11}$  і  $\mathcal{W}_{21}$ .

Вираз для матриці (14) включає зворотний оператор еволюції  $\mathcal{U}^{-1} = \mathcal{U}^{-1}(h, 0) = \mathcal{U}(0, h)$ , де  $h = k_{\text{vac}} D$ , і оператор  $\mathcal{U}(\tau, \tau_0)$  — розв'язок матричної задачі Коші:

$$-i\partial_\tau \mathcal{U}(\tau, \tau_0) = \mathcal{M} \cdot \mathcal{U}(\tau, \tau_0), \quad \mathcal{U}(\tau_0, \tau_0) = \mathcal{I}_4, \quad (17)$$

та матрицю власних векторів для зовнішнього середовища

$$\mathcal{V}_m = \begin{pmatrix} \mathcal{E}_m & -\sigma_3 \mathcal{E}_m \\ \mathcal{H}_m & \sigma_3 \mathcal{H}_m \end{pmatrix} \quad (18)$$

яка характеризується двома діагональними  $2 \times 2$  матрицями  $\mathcal{E}_m = \text{diag}(q_m/n_m, 1)$  і  $\mu_m \mathcal{H}_m = \text{diag}(n_m, q_m)$ , де  $\sigma_3 = \text{diag}(1, -1)$ .

Відомо, що отримати аналітичні вирази для оператора еволюції і матриці пропускання холестеричного РК можливо тільки у випадку нормального падіння світла на РК комірку, коли  $q_x = 0$ . У випадку ж похилого падіння з  $q_x \neq 0$  систему рівнянь (17) можна розв'язати лише чисельно. Тому наведемо аналітичні результати лише для матриці пропускання нематичного РК.

Для власних хвиль електромагнітного поля в НРК означимо матрицю власних значень

$$\mathcal{Q} = \text{diag}(q_e, q_o), \quad (19)$$

$$q_e = \sqrt{n_e^2 - q_x^2(1 + u_a d_x^2)}, \quad q_o = \sqrt{n_o^2 - q_x^2}, \quad (20)$$

де  $u_a = \Delta\varepsilon/\varepsilon_{\perp}$  параметр анізотропії НРК зразка, і дві блок-матриці власних векторів є такими:

$$\mathcal{E} = \mu \begin{pmatrix} d_x[1 - q_x^2/n_o^2] & d_y q_o \\ d_y & -d_x q_o \end{pmatrix}, \quad (21)$$

$$\mathcal{H} = \begin{pmatrix} d_x q_e & d_y n_o^2 \\ d_y q_e & -d_x[n_o^2 - q_x^2] \end{pmatrix}. \quad (22)$$

Тоді для матриці (14) маємо такий вираз:

$$\mathcal{W} = N_m^{-1} \text{diag}(\mathcal{I}_2, \sigma_3) \cdot \tilde{\mathcal{W}} \cdot \text{diag}(\mathcal{I}_2, \sigma_3), \quad (23)$$

$$\tilde{\mathcal{W}} = \begin{pmatrix} \mathcal{A}_+ & \mathcal{A}_- \\ \mathcal{A}_- & \mathcal{A}_+ \end{pmatrix} \cdot \mathcal{W}_d \cdot \begin{pmatrix} \mathcal{A}_+^T & -\mathcal{A}_-^T \\ -\mathcal{A}_-^T & \mathcal{A}_+^T \end{pmatrix}, \quad (24)$$

$$\mathcal{W}_d = \begin{pmatrix} \mathcal{W}_- & 0 \\ 0 & \mathcal{W}_+ \end{pmatrix}, \quad \mathcal{W}_\pm = \exp[\pm i \mathcal{Q}h] \cdot \mathcal{N}^{-1}, \quad (25)$$

$$\mathcal{A}_\pm = \mathcal{E}_m \cdot \mathcal{H} \pm \mathcal{H}_m \cdot \mathcal{E}, \quad \mathcal{N} = \text{diag}(N_e, N_o), \quad (26)$$

$$N_e = \frac{2q_e \mu}{n_o^2} (n_o^2 - q_x^2 d_x^2), \quad N_o = 2q_o \mu (n_o^2 - q_x^2 d_x^2), \quad (27)$$

де  $N_m = 2q_m / \mu_m$ .

Підставимо рівняння (23)–(27) у співвідношення (15), (16) і отримаємо такі вирази для матриць пропускання і відбиття:

$$\mathcal{T} = N_m \tilde{\mathcal{W}}_{11}^{-1}, \quad \mathcal{R} = \sigma_3 \cdot \tilde{\mathcal{W}}_{21} \cdot \tilde{\mathcal{W}}_{11}^{-1}, \quad (28)$$

$$\tilde{\mathcal{W}}_{11} = \mathcal{A}_+ \cdot \mathcal{W}_- \cdot \mathcal{A}_+^T - \mathcal{A}_- \cdot \mathcal{W}_+ \cdot \mathcal{A}_-^T, \quad (29)$$

$$\tilde{\mathcal{W}}_{21} = \mathcal{A}_- \cdot \mathcal{W}_- \cdot \mathcal{A}_+^T - \mathcal{A}_+ \cdot \mathcal{W}_+ \cdot \mathcal{A}_-^T, \quad (30)$$

Слід відзначити, що матриця пропускання  $\mathcal{T}$  розрахована у площині падіння. Вона визначає матрицю пропускання коноскопічних картин  $\tilde{\mathcal{T}}$ , яка в циркулярному базисі описується співвідношенням [7, 8]:

$$\tilde{\mathcal{T}}(\rho, \phi) = \exp(-i\phi \sigma_3) \mathcal{T}_c(\rho, \phi_d - \phi) \exp(i\phi \sigma_3), \quad (31)$$

$$\rho = r \tan \theta_{\text{inc}}, \quad \phi = \phi_{\text{inc}}, \quad (32)$$

де  $\mathcal{T}_c = \mathcal{C} \mathcal{T} \mathcal{C}^\dagger$ ,  $\mathcal{C} = 2^{-1/2} \begin{pmatrix} 1 & -i \\ 1 & i \end{pmatrix}$  і  $r$  – апертурно залежний масштабний коефіцієнт. На площині спостереження коноскопічної картини  $\rho$  і  $\phi$  є полярними координатами (декартові координати:  $x = \rho \cos \phi$  і  $y = \rho \sin \phi$ ), які визначаються кутом падіння  $\theta_{\text{inc}}$  і азимутальним кутом площини падіння,  $\phi_{\text{inc}}$ .

Важливо відзначити, що в центрі коноскопічної картини ( $\rho = 0$ ), якому відповідає випадок нормального падіння ( $\theta_{\text{inc}} = 0$ ), матриця пропускання (31) не залежить від азимутального кута площини падіння  $\phi$ . Використовуючи аналітичні результати для матриць пропускання НРК і ХРК комірок при  $q_x = 0$ , можна показати, що

$$\tilde{\mathcal{T}} \Big|_{\rho=0} = \mathcal{T}_c(0, \phi_d). \quad (33)$$

### 3. Поляризаційно розділені коноскопічні картини

Матриця пропускання (31) визначає розподіл циркулярних компонент пропущеної хвилі у площині спостереження:

$$\begin{pmatrix} E_+^{(\text{tr})}(\rho, \phi) \\ E_-^{(\text{tr})}(\rho, \phi) \end{pmatrix} = \tilde{\mathcal{T}}(\rho, \phi) \begin{pmatrix} E_+^{(\text{inc})} \\ E_-^{(\text{inc})} \end{pmatrix}, \quad (34)$$

де  $E_\pm^{(\text{inc, tr})} = 2^{-1/2} (E_\parallel^{(\text{inc, tr})} \mp i E_\perp^{(\text{inc, tr})})$ . Зокрема, рівняння (34) дозволяє обчислити поляризаційно розділену коноскопічну картину у вигляді поля поляризаційних еліпсів, що визначається розподілом поляризаційних параметрів (азимута поляризації,  $\phi_p^{(\text{tr})}$ , і еліптичності,  $\varepsilon_{\text{ell}}^{(\text{tr})}$ ) пропущеної хвилі у площині спостереження. Ці параметри можна легко знайти із рівнянь

$$2\phi_p = \arg(E_+^* E_-) = \arctan \left[ \frac{S_2}{S_1} \right], \quad (35)$$

$$\varepsilon_{\text{ell}} = \frac{|E_+| - |E_-|}{|E_+| + |E_-|} = \tan \left[ \frac{1}{2} \arcsin \left( \frac{S_3}{S_0} \right) \right], \quad (36)$$

де  $E_\pm = |E_\pm| \exp(i\phi_\pm)$ ;  $S_0, S_1, S_2$  і  $S_3$  є параметрами Стокса [13], для яких співвідношення

$$S_0 = |E_+|^2 + |E_-|^2 = \sqrt{S_1^2 + S_2^2 + S_3^2}, \quad (37a)$$

$$S_1 = 2 \text{Re}(E_+^* E_-) = S_0 \cos 2\chi_p \cos 2\phi_p, \quad (37b)$$

$$S_2 = 2 \text{Im}(E_+^* E_-) = S_0 \cos 2\chi_p \sin 2\phi_p, \quad (37c)$$

$$S_3 = |E_+|^2 - |E_-|^2 = S_0 \sin 2\chi_p \quad (37d)$$

визначають сферу Пуанкаре, параметризовану за допомогою азимута поляризації, ( $0 < \phi_p \leq \pi$ ), і кута еліптичності, ( $-\pi/4 \leq \chi_p \leq \pi/4$ ). При  $E_\pm = E_\pm^{(\text{inc})}$  ( $E_\pm = E_\pm^{(\text{tr})}$ ) рівняння (35) і (36) дають азимут поляризації  $\phi_p^{(\text{inc})}$  ( $\phi_p^{(\text{tr})}$ ) і еліптичність  $\varepsilon_{\text{ell}}^{(\text{inc})}$  ( $\varepsilon_{\text{ell}}^{(\text{tr})}$ ) падаючої (пропущеної) хвилі.

Якщо  $|E_\nu| = 0$ , то хвиля є циркулярно поляризованою, і її фаза  $\phi_\nu$  разом з азимутом поляризації  $\phi_p$  невизначені. Тому така поляризаційна сингулярність може розглядатися як фазова сингулярність комплексного поля Стокса, ( $S = S_1 + iS_2 = E_+^* E_-$ ). Точки з  $|E_\nu| = 0$ , де  $\varepsilon_{\text{ell}} = -\nu$ , будемо називати  $C_\nu$ -точками.

У випадку лінійної поляризації,  $|E_+| = |E_-|$ , і знак поляризації не визначений. Криві лінійної поляризації –  $L$ -лінії. У випадкових неоднорідно поляризованих світлових полях  $L$ -лінії розділяють області з лівою і правою поляризаціями [10].

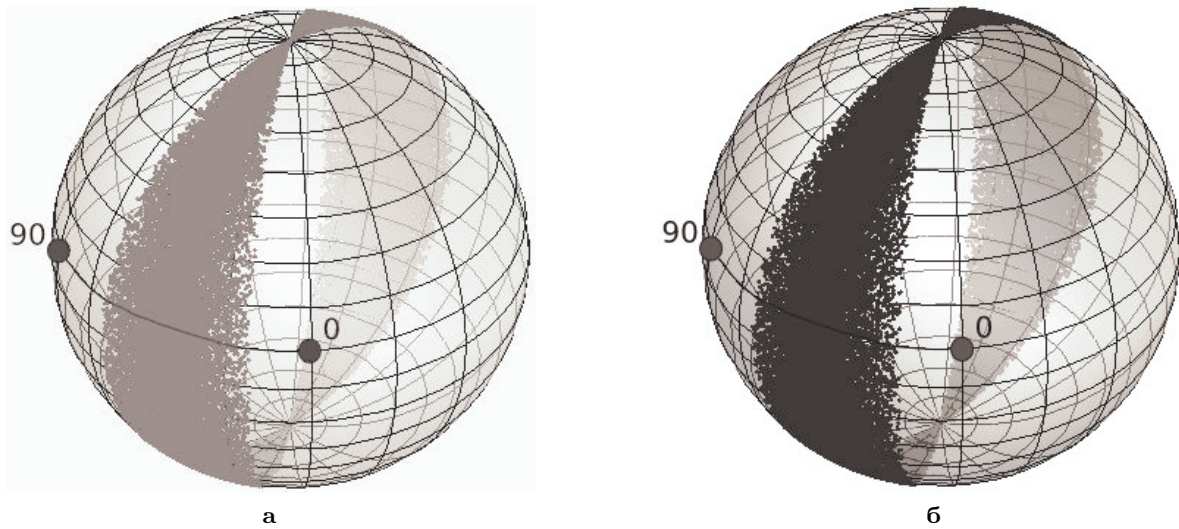


Рис. 2. Стани поляризації падаючої світлової хвилі, що індукують ліві (а) та праві (б)  $C$ -точки в поляризаційно розділених коноскопічних картинах планарно орієнтованого нематика. Параметри розрахунку: нематичний РК E7 ( $n_o = 1,54$ ,  $n_e = 1,72$ ),  $n_m = 1,5$ , товщина комірки  $D = 100$  мкм, апертура світлового пучка  $30^\circ$ ,  $\phi_d = 0$ . Направлення зміни азимута поляризації і його значення зображено на сферах

### 3.1. Планарна орієнтація

Розглянемо умови виникнення  $C_\nu$ -точок у поляризаційно розділених коноскопічних картинах планарної нематичної РК комірки. Оскільки матриця пропускання  $\tilde{T}(\rho, \phi)$  залежить від двох кутів падіння світлової хвилі на комірку, то можна припустити, що тільки світлові хвилі з певним станом поляризації можуть індукувати  $C_\nu$ -точки. Щоб знайти такі стани поляризації світлових хвиль, розв'яжемо зворотню задачу пропускання світла. Знаючи стан поляризації світла в  $C_\nu$ -точці і матрицю пропускання для комірки, можна отримати стан поляризації падаючої світлової хвилі, яка індукує поляризаційну сингулярність. Для цього підставимо в рівняння (34) вектор циркулярних компонент пропущеної хвилі, який для правої  $C$ -точки має вигляд  $(1, 0)^T$ , а для лівої  $(0, 1)^T$ . Змінюючи кути падіння  $\theta_{\text{inc}}$  і  $\phi_{\text{inc}}$  (або  $\rho$  і  $\phi$ ), отримуємо стани поляризації для падаючої хвилі, що індукують  $C_\nu$ -точки, які будемо зображати точками на сфері Пуанкаре.

На рис. 2, на сфері Пуанкаре (азимут поляризації відображають паралелі, а еліптичність – меридіани сфери), представлено області станів поляризації падаючої хвилі, за яких поляризаційно розділена коноскопічна картина містить хоча б одну  $C_\nu$ -точку. Параметри розрахунку наведено у підписі до рис. 2. З рис. 2 видно, що на відміну від гомеотропно орієнтованого НРК, для якого відповідною областю є повністю заповнена сфера Пуанкаре, для планарної орієнтації директора існує суттєва залежність умов фор-

мування  $C$ -точок від азимутального кута поляризації падаючої хвилі  $\phi_p^{(\text{inc})}$ . Сфери Пуанкаре, наведені на рис. 2, розраховані для випадку коли  $\phi_d = 0$ . Якщо змінювати значення кута  $\phi_d$ , то області будуть рухатись за сферою уздовж паралелей.

Попередній висновок також підтверджують кутові поляризаційні розподіли планарно орієнтованого НРК, показані на рис. 3. Зокрема на рис. 3,б в поляризаційно розділеній коноскопічній картині присутні  $C$ -точки, які формують правильну геометричну структуру. Також треба зазначити, що, як і в поляризаційно розділених коноскопічних картинах гомеотропно орієнтованого нематичного РК, існують ефекти структурної нестійкості перетинів  $L$ -ліній і чергування знака топологічного індексу  $C$ -точок [8].

### 3.2. Холестерична спіраль

Цікаво дослідити, що буде відбуватися з областями, які індукують  $C$ -точки, (рис. 2) у ХРК комірки за рахунок появи хіральності, що приводить до формування гелікоїдальної структури директора з відмінним від нуля хвильовим числом ХРК спіралі,  $q \neq 0$ , та скінченим значенням кроку спіралі,  $P = 2\pi/q$ . Оскільки планарно орієнтований нематичний РК можна розглядати як холестерик з нескінченим кроком, то для зручності будемо задавати крок холестеричної спіралі кратний товщині РК комірки  $D$ .

На рис. 4 представлено області на сферах Пуанкаре, які індукують  $C$ -точки у поляризаційно роз-

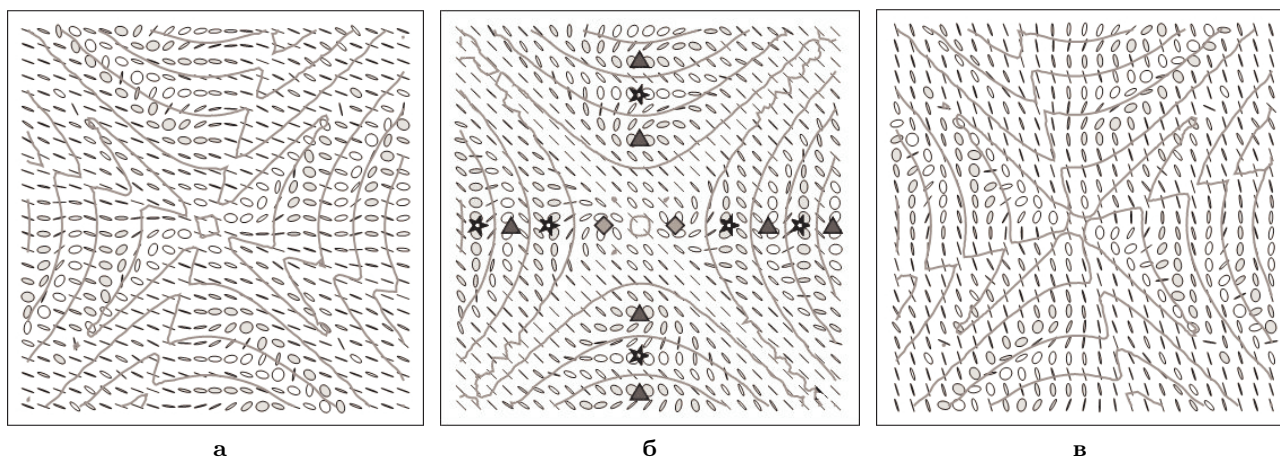


Рис. 3. Поляризаційно розділені коноскопічні картини планарно орієнтованої комірки нематика для лінійно поляризованої падаючої хвилі. Параметри розрахунку наведено на рис. 2. *C*-точки типу *star*, *monstar* і *lemon* [10] позначено, відповідно, зірочками, трикутниками і ромбами. *L*-лінії позначено темними лініями. Праву поляризацію позначено світлими еліпсами, ліву – темними:  $a - \phi_p^{inc} = 20^\circ$ ;  $b - \phi_p^{inc} = 45^\circ$ ;  $c - \phi_p^{inc} = 75^\circ$

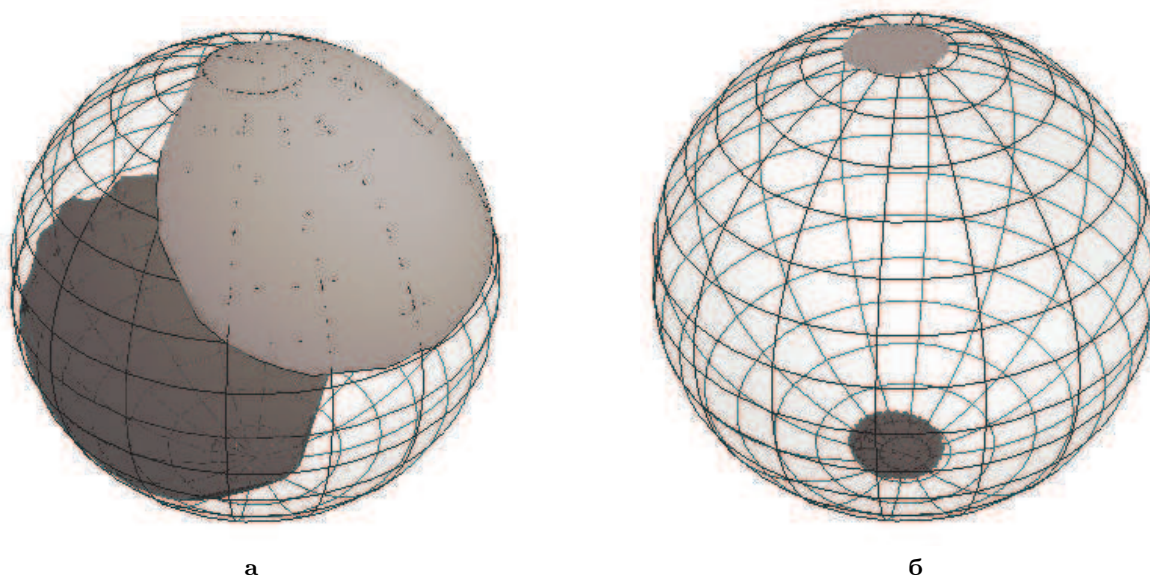


Рис. 4. Стани поляризації падаючої світлової хвилі, що індукують *C*-точки в поляризаційно розділених коноскопічних картинах холестеричного РК. Параметри розрахунку: нематичний РК E7 з хіральною добавкою ( $n_o = 1,54$ ,  $n_e = 1,72$ ),  $n_m = 1,5$ , товщина комірки  $d = 100$  мкм, апертюра світлового пучка  $30^\circ$ . Сірим кольором позначено області, що індукують праві *C*-точки, темно-сірим – ліві. Крок холестеричної спіралі:  $a - P = 250$ ;  $b - P = 200$  мкм

ділених коноскопічних картинах холестеричного РК. У першому випадку, (рис. 4,а), коли крок холестеричної спіралі дорівнює  $P = 250$  мкм, вже виникає ситуація, коли певні стани поляризації індукують тільки праві або тільки ліві *C*-точки. Як і для НРК комірки, у цьому випадку ще залишається залежність від азимутального кута  $\phi_p^{(inc)}$ , але також виникає залежність від еліптичності  $\epsilon_{ell}^{(inc)}$  падаючої хвилі.

Далі, при зменшенні кроку холестеричної спіралі до  $P = 200$  мкм, (рис. 4,б), тобто коли виникає один напіввиток спіралі, і області, які індукують *C*-точки, сповзають до полюсів сфери. Коли у комірці виникають два напіввитка спіралі,  $P = 100$  мкм, то області на сфері Пуанкаре являють собою два окремих пояси (див. рис. 5,а).

У цих випадках видно, що коли в комірці вже сформувалися цілі напіввитки холестеричної спіралі, то

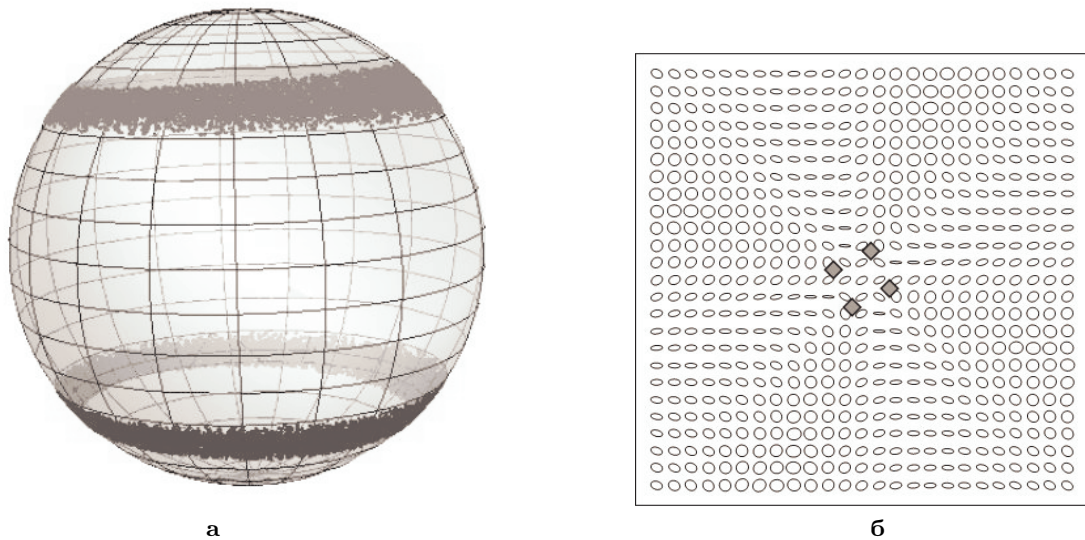


Рис. 5. Стани поляризації падаючої світлової хвилі, що індукують  $C$ -точки (а) та типова поляризаційно розділена коноскопічна картина холестеричного РК (б) ( $\varepsilon_{ell}^{inc} = 0,7$ ,  $\phi_p^{inc} = 20^\circ$ ). Параметри розрахунку: нематичний РК Е7 з хіральною добавкою ( $n_o = 1,54$ ,  $n_e = 1,72$ ),  $n_m = 1,5$ , товщина комірки  $D = 100$  мкм, апертюра світлового пучка  $30^\circ$ . Сірим кольором позначено області, що індукують праві  $C$ -точки, темно-сірим – ліві.  $C$ -точки типу *Leton* відзначені ромбами. Крок холестеричної спіралі: а –  $P = 100$ ; б –  $P = 100$  мкм

відповідні області на сфері Пуанкаре падаючої хвилі стають циліндрично симетричними, і, таким чином, залежність умов появи  $C$ -точок від азимута поляризації  $\phi_p^{(inc)}$  повністю зникає. Тому поява  $C$ -точок у поляризаційно розділеній коноскопічній картині цілком визначається значенням еліптичності  $\varepsilon_{ell}^{(inc)}$  падаючої хвилі.

Для холестеричного РК поляризаційно розділена коноскопічна картина має вигляд, представлений на рис. 5, б. Видно, що ця картина містить поляризаційні еліпси одного знака, тобто в таких поляризаційних розподілах  $C$ -точки і  $L$ -лінії існують окремо.

#### 4. Висновки

Характерною особливістю поляризаційно розділених коноскопічних картин планарної нематичної і холестеричної РК комірок є селективність умов формування  $C$ -точок за поляризаційними параметрами падаючої світлової хвилі.

Для планарно орієнтованого НРК показано, що поява  $C$ -точок залежить лише від азимутального кута поляризації  $\phi_p^{(inc)}$ , у той же час еліптичність падаючої хвилі майже не впливає на їх формування. Причому на сфері Пуанкаре області індукуючих  $C$ -точок станів поляризації обертаються навколо осі  $S_3$  при зміні

азимутального кута директора. Це вказує на те, що селективність по азимутальному куту пов'язана з порушенням циліндричної симетрії гомеотропної конфігурації.

У ХРК комітках рівноважною є неоднорідна гелікоїдальна конфігурація, де директор обертається навколо нормалі до комірки. Коли число напіввитків ХРК спіралі більше одиниці, ці обертання “відновлюють” циліндричну симетрію, і відповідні області на сфері Пуанкаре падаючої хвилі також стають циліндрично симетричними. У цьому випадку вирішальним фактором, який визначає появу  $C$ -точок, є еліптичність падаючої хвилі,  $\varepsilon_{ell}^{(inc)}$ . Причому області станів поляризації падаючої хвилі, які індукують  $C$ -точки протилежного знака спіральності, не перетинаються. Очевидно, вказані особливості можна вважати ефектами хіральності ХРК.

На завершення зазначимо, що детальне дослідження перетворень поляризаційно розділених коноскопічних картин НРК і ХРК комірок при зміні поляризаційних параметрів падаючої хвилі вказує на універсальність біфуркаційних ефектів, досліджених в роботі [8] для гомеотропної структури. Результати цих досліджень буде опубліковано окремо.

Роботу виконано за часткової фінансової підтримки УНТЦ гранта № 4687.

1. P. Yeh and C. Gu, *Optics of Liquid Crystal Displays* (Wiley, New York, 1999).
2. V.G. Chigrinov, *Liquid Crystal Devices: Physics and Applications* (Artech House, Boston, 1999).
3. P.G. de Gennes and J. Prost, *The Physics of Liquid Crystals* (Clarendon Press, Oxford, 1993).
4. G. Baur, V. Wittwer, and D.W. Berreman, *Phys. Lett. A* **56**, 142 (1976).
5. L.H. Brett and H.H. Winter, *Appl. Opt.* **40**, 2089 (2001).
6. Yu.A. Nastishin, O.B. Dovgyi, and O.G. Vlokh, *Ukr. J. Phys. Opt.* **2**, N 2, 98 (2001).
7. A.D. Kiselev, *J. Phys.: Condens. Matter*, **19**, 246102 (2007).
8. A.D. Kiselev, R.G. Vovk, R.I. Egorov, and V.G. Chigrinov, *Phys. Rev. A* **78**, 033815 (2008).
9. N.D. Mermin, *Rev. Mod. Phys.* **51**, 591 (1979).
10. J.F. Nye, *Natural Focusing and Fine Structure of Light: Caustics and Wave Dislocations* (Institute of Physics, Bristol, 1999).
11. J.F. Nye, *Proc. R. Soc. London, Sect. A* **389**, 279 (1983).
12. D.W. Berreman, *J. Opt. Soc. Am.* **62**, 502 (1972).
13. M. Born and E. Wolf, *Principles of Optics* (Pergamon Press, Oxford, 1980).

Одержано 09.10.09

ПОЛЯРИЗАЦИОННАЯ СТРУКТУРА  
 КОНОСКОПИЧЕСКИХ КАРТИН  
 ПЛАНАРНЫХ НЕМАТИЧЕСКИХ  
 И ХОЛЕСТЕРИЧЕСКИХ  
 ЖИДКОКРИСТАЛЛИЧЕСКИХ  
 ЯЧЕЕК

Р.Г. Вовк, А.Д. Киселев

## Резюме

Теоретически исследованы распределения поляризации света в коноскопических картинах планарной нематической и холестерической жидкокристаллических (ЖК) ячеек. Геометрия поляризационных структур описана с помощью поляризационных сингулярностей: *C*-точек (точки циркулярной поляризации) и *L*-линий (линии линейной поляризации). Рассмотрены условия формирования поляризационных сингулярностей (*C*-точек) в ансамбле коноскопических картин, параметризованных азимутом поляризации и эллиптичностью падающей световой волны. Показано, что характерной особенностью этих условий является селективность по поляризационным параметрам.

POLARIZATION STRUCTURE  
 OF CONOSCOPIC PATTERNS FOR PLANAR  
 NEMATIC AND CHOLESTERIC LIQUID-CRYSTAL CELLS

R.G. Vovk, A.D. Kiselev

Institute of Physics, Nat. Acad. of Sci. of Ukraine  
 (46, Nauky Ave., Kyiv 03680, Ukraine;  
 e-mail: roman.vovk@gmail.com)

## Summary

The distributions of light polarization in conoscopic patterns obtained for planar nematic and cholesteric liquid-crystal cells have been studied theoretically. The geometry of polarization patterns is characterized in terms of polarization singularities, such as *C*-points (points corresponding to circular polarization) and *L*-lines (lines corresponding to linear polarization of light). The conditions required for the formation of polarization singularities (*C*-point) in a conoscopic pattern ensemble parametrized by the polarization azimuth and the ellipticity of incidence light have been considered. The selectivity with respect to polarization parameters has been found to be a characteristic feature of those conditions.